

## بهینه‌سازی گستته سازه‌های فضاکار با روش توابع جریمه و با کمک

تحلیل تقریبی سازه\*

(یادداشت پژوهشی)

جواد سلاجقه<sup>(۱)</sup> عیسی سلاجقه<sup>(۲)</sup>

**چکیده** در این مقاله، نخست خلاصه روشهای تقریب‌سازی که تاکنون مورد استفاده قرار گرفته، آورده می‌شود و سپس برای افزایش دقت و نیز کاهش تعداد مرحله تحلیل سازه یک روش تقریب‌سازی جدید ارائه می‌گردد. برای طراحی بهینه روش توابع جریمه مورد استفاده قرار می‌گیرد و در مرحله بهینه‌یابی گستته یک تابع جدید نمایی معرفی می‌شود. در خاتمه با طرح بهینه سازه فضاکار نتایج ارزیابی می‌گردد.

**واژه‌های کلیدی** طرح بهینه، تقریب‌سازی، متغیرهای گستته، سازه‌های فضاکار، توابع جریمه

## Discrete Optimization of Space Struture via

## Penalty Approaches

J. Salagegheh

E. Salagegheh

**Abstract** In this paper, some of the existing methods of approximation are presented. Then to reduce the computational time, a new method for approximation of the structural responses is outlined. For optimization, method of penalty function is used and a new penalty function is introduced for discrete optimization. Some space structures are optimized and results are compared with other methods.

**Key Words** Optimization, Approximation, Discrete Variables, Space Structures, Penalty Function.

\* - نسخه اولیه مقاله در تاریخ ۷۹/۵/۱۰ و نسخه نهایی آن در تاریخ ۸۰/۸/۷ به دفتر نشریه رسیده است.

۱ - استاد باریکه عمران، دانشگاه شهید باهنر کرمان

۲ - استاد بخش عمران، دانشگاه شهید باهنر کرمان

گستته، تابع جریمه دیگری مانند  $Q(X)$  به تابع قبلی اضافه می شود و تابع شبه هدف اصلاح شده به دست آمده حداقل می گردد.

$$\text{Minimize } \Phi(X) = \Phi(X) + s_q Q(X) \quad (3)$$

تاکنون تابع  $(X)Q$  یعنی تابع جریمه بهینه سازی گستته، به صورت تابع سینوسی  $[6-2]$  و تابع درجه دوم  $[9,7]$  مورد استفاده واقع گردیده است.  $s_q$  کمیتی عددی است که در روند بهینه سازی گستته توسط ضربی افزایش می یابد. در این قسمت، ثابت فرض می شود.

از آنجاکه در اکثر مسائل مهندسی، توابع محدودیتها به صورت صریح در دسترس نبوده و توابعی ضمنی می باشند، محاسبه این توابع بدون استفاده از محاسبات تقریبی نیاز به تحلیل مکرر سازه داشته و کاری پرهزینه و وقت گیر است. همچنین، هرچه این توابع تقریبی دقیقتر باشند مسئله بهینه سازی در تکرارهای کمتری حل می گردد. در اینجا خلاصه تحقیقات انجام شده در این زمینه به شرح زیر جمع بندی می گردد.

تقریب سازی یک نقطه ای خطی با کمک دو جمله اول سری تیلور، یک نقطه ای معکوس با استفاده از متغیر واسطه  $\frac{1}{x_i} = y_i$  و با کمک دو جمله اول سری تیلور و تقریب سازی یک نقطه ای ترکیبی در مراجع [10 و 13] مورد استفاده قرار گرفته است.

تقریب سازی یک نقطه ای معکوس که در محاسبه تغییر مکان گره های سازه های فضای کار از عملکرد خوبی برخوردار می باشد هنگامی که محدودیتها به سمت صفر میل نمایند با مشکل مواجه است. برای رفع این نقصه، تقریب سازی دو نقطه ای معکوس اصلاح شده در مرجع [14] آورده شده است.

برای افزایش دقت، با کمک متغیر واسطه  $x_i^{pi} = y_i$  و استفاده از دو جمله اول سری تیلور تقریب سازی دو نقطه ای توانی ارائه شده است [16 و 15]. در این تغییر

## مقدمه

در طراحی بهینه سازه ها متغیرهای طراحی شامل سطح مقاطع، شکل هندسی و غیره بایستی به نحوی تعیین گردند که وزن و یا قیمت سازه کمینه شده و کلیه محدودیت های طراحی ارضاء گردند. همچنین، مقادیر متغیرهای طراحی بر یکی از اعضا بردار متغیرهای گستته آن متغیر (بعنوان مثال سطح مقاطع جداول استاندارد) منطبق گردند. یعنی:

$$\text{Minimize : } F(X)$$

$$\text{Subject to : } g_j(X) \leq 0, \quad j = 1, m$$

$$x_i^l \leq x_i \leq x_i^u, \quad i = 1, n$$

$$x_i \in D_i \text{ or } x_i \in \{d_{i1}, d_{i2}, d_{i3}, \dots, d_{iq}\} \quad i = 1, n$$

(1)

در روابط (1)،  $F(X)$  تابع هدف،  $g_j(X)$  محدودیت ها نامساوی  $x_i^l$  و  $x_i^u$  پایین و بالای متغیر  $x_i$ ،  $n$  تعداد متغیرها،  $m$  تعداد محدودیت ها،  $D_i$  بردار متغیرهای طراحی،  $nd$  تعداد متغیرهای گستته، و  $q$  تعداد کمیت های انتخابی برای هر یک از متغیرهای گستته که می تواند برای متغیرهای مختلف مقادیر متفاوت دارد باشد، می باشدند.

در مرحله اول طراحی بهینه، یعنی طراحی بهینه پیوسته با روش توابع جریمه، نخست تابع هدف و محدودیت ها به یک تابع بدون محدودیت تبدیل می شود و آنگاه تابع شبه هدف حاصله حداقل می گردد.

$$\text{Minimize } \Phi(X) = F(X) + r_p P(X) \quad (2)$$

در رابطه (2)،  $P(X)$  تابع جریمه طراحی بهینه پیوسته می باشد که برای محاسبه آن روش های متعددی وجود دارد [1]. در این مقاله از تابع جریمه درجه دوم داخلی توسعه یافته استفاده شده است [1-5].  $r_p$  کمیتی عددی که در مراحل مختلف طراحی بهینه مقدار آن توسط ضربی کاهش می یابد [1].

پس از طراحی بهینه پیوسته، در مرحله طراحی بهینه

در طراحی بهینه سازه‌های بزرگ دقت و سرعت عملیات بهینه‌یابی به دقت روابط تقریب‌سازی بستگی دارد. بدین منظور در این مقاله در روابط ارائه شده از ۴ جمله اول سری تیلور استفاده گردیده است. نتایج و بررسی‌ها نشان دهنده کاهش تعداد مراحل آنالیز سازه و وقت لازم برای طرح بهینه سازه‌های فضاکار می‌باشد.

### روش جدید محاسبات تقریبی

برای محاسبه نیروها و تغییرمکانهای تقریبی سازه‌های فضاکار، در خلال محاسبات بهینه در هر مرحله یکبار سازه آنالیز و آنگاه براساس روابط تقریبی پیشنهاد شده زیر مقادیر نیروها و تغییر مکانها محاسبه می‌گردد. تقریب‌سازی نیروها. برای افزایش دقت و نهایتاً کاهش تعداد مراحل آنالیز سازه که در سازه‌های بزرگ اهمیت اساسی دارد، در روابط پیشنهادی از چهار جمله اول سری تیلور استفاده گردیده است.

$$F(X) = F(X_0) + \sum_{i=1}^n F_i(X_0)(x_i - x_{0i}) + \frac{1}{2} \sum_{i=1}^n A_i(x_i - x_{0i})^2 + \frac{1}{6} \sum_{i=1}^n B_i(x_i - x_{0i})^3 \quad (4)$$

تقریب‌سازی تغییرمکان‌گره‌ها. با بررسی‌های انجام شده برای محاسبه تغییر مکان‌گره‌های سازه‌های فضاکار، بهترین تغییرواسطه  $y_i = \frac{x_i}{x_{0i}}$  می‌باشد. بنابراین، رابطه مورد استفاده برای محاسبه تغییر مکان‌گره‌ها با کمک چهار جمله اول سری تیلور بصورت زیر ارائه می‌شود:

$$F(X) = F(X_0) + \sum_{i=1}^n F_i(X_0)(x_i - x_{0i}) \frac{x_{0i}}{x_i} + \frac{1}{2} \sum_{i=1}^n A_i \left( \frac{1}{x_i} - \frac{1}{x_{0i}} \right)^2 + \frac{1}{6} \sum_{i=1}^n B_i \left( \frac{1}{x_i} - \frac{1}{x_{0i}} \right)^3 \quad (5)$$

در این روش، محاسبه ماتریس مشتقات مرتبه دوم و

متغیر  $P$  توان است که باید محاسبه شود. برای کاهش حجم محاسبات مربوط به  $P$ ‌ها در روش تقریب‌سازی دو نقطه‌ای توانی در مرجع [15]،  $P$ ‌ها برای کلیه متغیرها یکسان فرض شده و روش تقریب‌سازی توانی با توان ثابت مورد استفاده قرار گرفته است. همچنین، در این مرجع استفاده از سه جمله اول سری تیلور پیشنهاد شده است که ماتریس هسیان یا ماتریس مشتقات مرتبه دوم یک ماتریس قطری با اعضای مساوی روی قطر فرض گردیده است.

در مرجع [17] تقریب‌سازی سه نقطه‌ای توانی با استفاده از سه جمله اول سری تیلور و با فرض قطری بودن ماتریس هسیان و با کمک متغیر واسطه  $y_i = \frac{x_i}{x_{0i}}$  ارائه شده است.

تقریب‌سازی سه نقطه‌ای توانی نیز با ماتریس هسیان کامل ولی تقریبی بیان شده است، اعضای ماتریس مشتقات مرتبه دوم با کمک مشتقات و اختلاف مشتقات مرتبه اول و اختلاف متغیرها و همچنین بردار جهت جستجو (Search) به صورت تقریبی محاسبه می‌گردد [18].

دو روش دیگر تقریبی برای محاسبه مشتقات مرتبه دوم در مراجع [۱۹ و ۲۰] بررسی گردیده و به ترتیب در طراحی بهینه سدهای بتنی وزنی با محدودیت تنش و تغییر مکان و طرح بهینه قابها و خرپاها با محدودیت تنش و تغییر مکان و فرکانس مورد استفاده واقع شده است.

چنانچه سازه تحت اثر بارهای دینامیکی باشد و محدودیت اندازه پاسخ دینامیکی سازه در مقابل زلزله مدنظر باشد، در مرجع [۲۱] یک روش موثر و تقریبی برای محاسبه اندازه پاسخ دینامیکی سازه آورده شده است.

با توجه به موارد فوق امکان طراحی بهینه سازه‌ها تحت اثر بارهای استاتیکی یا دینامیکی میسر می‌باشد ولی

برای تقریب سازی تغییر مکان گره‌ها، چنانچه مقادیر مشتقات نقاط قبلی طراحی ( $X_{\circ}, X_i$ ) در رابطه (۵) جایگزین شود خواهیم داشت:

$$B_i = \frac{2u_i x_{\circ i}^T x_{\circ i} x_{i i}}{(x_{\circ i} - x_{\circ i})(x_{\circ i} - x_{i i})} - \frac{2w_i x_{\circ i}^T x_{i i} x_{\circ i}}{(x_{\circ i} - x_{\circ i})(x_{\circ i} - x_{i i})} \quad (11)$$

$$A_i = \frac{u_i x_{\circ i}^T x_{i i}}{x_{\circ i} - x_{i i}} - \frac{B_i}{2x_{\circ i} x_{i i}} (x_{\circ i} - x_{i i}) \quad (12)$$

در روابط (۱۱) و (۱۲) مقادیر  $u_i$  و  $w_i$  برابر می‌باشد با:

$$u_i = F_i(X_{\circ i}) - \left(\frac{x_{\circ i}}{x_{i i}}\right)^T F_i(X_{\circ i}) \quad (13)$$

$$w_i = F_i(X_{\circ i}) - \left(\frac{x_{\circ i}}{x_{i i}}\right)^T F_i(X_{\circ i}) \quad (14)$$

در این حالت نیز در سیکل دوم مقدار  $B_i$  و  $A_i$  برابر خواهد بود با:

$$A_i = \frac{u_i x_{\circ i}^T x_{i i}}{x_{\circ i} - x_{i i}} \quad (15)$$

که در این صورت  $B_i$  برابر است با:

$$u_i = F_i(X_{\circ i}) - \left(\frac{x_{\circ i}}{x_{i i}}\right)^T F_i(X_{\circ i}) \quad (16)$$

### طراحی بهینه گستته سازه‌ها

همانطور که در روابط (۱) آمده است در مرحله طراحی بهینه گستته باشیم هر یک از اعضای بردار متغیرهای طرح بر یکی از اعضای بردار متغیرهای گستته آن متغیر یعنی  $D_i$ ، منطبق گردد. روش‌های مختلفی که برای طراحی بهینه گستته کاربرد دارند، عبارتند از:

(Branch and Bounds)

۱ - روش شاخه و کران

(Simulated Annealing)

۲ - روش بازیخت

(Genetic Algorithms)

۳ - روش ژنتیک

(Duality Methods)

۴ - روش دوگانه

(Penalty Functions)

۵ - روش توابع جریمه

سوم بصورت تقریبی و با کمک مشتقات مرتبه اول نقاط قبلی طراحی محاسبه می‌گردد. در سازه‌های بزرگ به دلیل تعداد زیاد محدودیتها امکان محاسبه و ذخیره این ماتریس‌ها وجود نداشت و محاسبه مکرر درایه‌های این ماتریس‌ها در خلال محاسبات وقت بسیار زیادی را می‌طلبد. برای برطرف نمودن این مشکلات، ماتریس‌های ( $B_i$ ,  $A_i$ ) قطری در نظر گرفته شده‌اند. در هر مرحله بهینه‌یابی پس از آنالیز دقیق سازه و محاسبه مشتقات مرتبه اول اعضای قطری این ماتریس‌ها محاسبه و ذخیره می‌گردد. ضمناً اثبات ثابت مشتقات مرتبه دوم و سوم ناشی از جایگزینی متغیر واسطه  $y_i = \frac{1}{x_i}$  در جملات رابطه (۵) در مقادیر ماتریس‌های تقریبی مرتبه دوم و سوم مستتر می‌باشد.

بديهي است در سيكل اول محاسبات بايستى از دو جمله اول روابط (۴) و (۵) و در سيكل دوم از سه جمله اول اين روابط استفاده گردد. در روابط فوق ( $X_{\circ i}$ ) مشتق تابع در نقطه  $X_{\circ i}$  به ازاء متغير  $A_i$  می‌باشد.

برای تقریب‌سازی نیروها پس از جایگزینی مشتقات مرتبه اول دو نقطه‌قبلی یعنی  $X_{\circ i}$  و  $X_{i i}$  در رابطه (۴) مقادیر  $A_i$  و  $B_i$  برابر خواهند بود با:

$$B_i = \frac{2u_i}{(x_{\circ i} - x_{\circ i})(x_{\circ i} - x_{i i})} - \frac{2w_i}{(x_{\circ i} - x_{\circ i})(x_{\circ i} - x_{i i})} \quad (6)$$

$$A_i = \frac{u_i}{x_{\circ i} - x_{i i}} - \frac{B_i}{2(x_{\circ i} - x_{i i})} \quad (7)$$

در روابط (۶) و (۷) مقادیر  $u_i$  و  $w_i$  برابرند با:

$$u_i = F_i(X_{\circ i}) - F_i(X_{\circ i}) \quad (8)$$

$$w_i = F_i(X_{\circ i}) - F_i(X_{\circ i}) \quad (9)$$

در سیکل دوم،  $A_i = B_i$  برابر است با:

$$A_i = \frac{F_i(X_{\circ i}) - F_i(X_{\circ i})}{x_{\circ i} - x_{i i}} \quad (10)$$

در روابط فوق  $\beta$  و  $\alpha$  مقادیر متغیرهای گسته حد بالا و پائین هر متغیر می‌باشد.

ج - در این مقاله از یک تابع جریمه نمائی جدید برای محاسبات بهینه‌یابی گسته استفاده شده است. نتایج مثالهای عددی نشان دهنده عملکرد بهتر این تابع نسبت به توابع فوق می‌باشد.

$$Q(X) = \sum \{ye^{q(x)}(e^{q(x)} - 1)^{\beta} \}, \quad \beta > 1, \quad y > 1, \quad (19)$$

$$q(x) = a(x_i - d_i^u)(d_i^u - x_i), \quad \alpha > 1, \quad (20)$$

پارامترهای  $\alpha$  و  $\beta$  و  $y$  ثابت بوده و اغلب دارای مقادیر واحد می‌باشند. درصورتی که متغیرهای گسته کوچک بوده و یا فاصله آنها خیلی کم باشد، به طوری که مقدار تابع  $Q(X)$  خیلی کوچک باشد (کمتر از ۱۰ درصد تابع  $(X)\phi$  می‌توان برای جلوگیری از سیکلهای اضافی طراحی بهینه، مقادیر آنها را بزرگتر از یک انتخاب نمود.

### مثالهای عددی

**مثال ۱:** خرپایی ده عضوی. خرپایی شکل (۱) مفروض است؛ چنانچه  $E = 10^7$  psi، تغییرمکان گره‌های ۱ الی ۴ حداقل  $\pm 2$  in، تنش مجاز تمام اعضاء به جز عضو شماره ۹ مساوی  $25000$  psi و تنش مجاز عضو شماره ۹،  $5000$  psi  $\pm 5000$  psi باشد و بردار متغیرهای گسته  $D_i \in \{0/1, 0/5, 1/5, 2/5\}$  باشد، طراحی بهینه پیوسته و گسته این مثال انجام شده و نتایج به صورت ارائه شده در جدول (۱) می‌باشد. به منظور امکان مقایسه نتایج از واحدهای غیرمتريک استفاده شده است. علت انتخاب اين مثال كنترل صحت عملکرد برنامه می‌باشد.

**مثال ۲:** در مرجع [۲] با محاسبات تقریبی خطی و تابع جریمه سینوسی و در مرجع [۳] با محاسبات تقریبی درجه دوم و تابع نمایی ارائه شده حل شده است.

محاسن و معایب این روشها در مرجع [۱] به اختصار آورده شده است.

در روش توابع جریمه، هر مسئله بهینه‌سازی نخست بهینه‌سازی پیوسته می‌شود و پس از خاتمه بهینه پیوسته مرحله طراحی بهینه گسته انجام می‌گردد. در این مقاله برای تبدیل توابع با محدودیت به توابع بدون محدودیت در بهینه‌یابی پیوسته از روش تابع جریمه داخلی توسعه یافته درجه دوم استفاده شده است [۱].

پس از حداقل یابی تابع رابطه (۲) یا اتمام طراحی بهینه پیوسته، طراحی بهینه گسته شروع می‌گردد. در مرحله بهینه‌یابی گسته با کمک تابع جریمه، تابع جریمه دیگری مانند  $Q(X)$  به تابع شبیه هدف رابطه (۲) اضافه می‌گردد و تابع شبیه هدف اصلاح شده رابطه (۳) حداقل می‌شود.

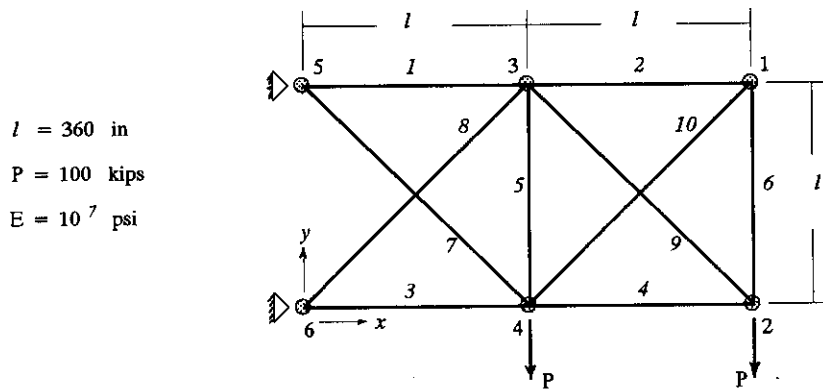
در این رابطه تابع  $Q(X)$  یا تابع جریمه بهینه یابی گسته، باید برحسب متغیرهای طراحی بنحوی تعریف گردد که در نقاط گسته هر متغیر جزء مربوط به آن متغیر صفر گردد. پارامتر ضریبی است که در شروع محاسبات مقدار آن فرض شده  $s = 1/5 - 10$  و در خلال محاسبات بهینه، در هر مرحله مقدار آن توسط ضریبی مانند  $\alpha$  اضافه می‌گردد ( $\alpha = 0.5$  و  $s = 3 - 10$ ).

تاکنون تابع  $Q(X)$  به دو صورت زیر معرفی شده است:  
الف - تابع سینوسی که در مراجع [۶-۷] مورد استفاده واقع شده است.

$$Q(X) = \sum_{i=1}^n \frac{1}{2} \left[ \sin \frac{2\pi[x_i - 0]/25(d_i^u + 3d_i^l)]}{d_i^u - d_i^l} + 1 \right] \quad (17)$$

ب - رابطه درجه دوم که در مراجع [۷, ۹] استفاده گردیده است.

$$Q(X) = \sum_{i=1}^n \left\{ 4 \left( \frac{x_i - d_i^l}{d_i^u - d_i^l} \right) \left( 1 - \frac{x_i - d_i^l}{d_i^u - d_i^l} \right) \right\}^\beta; \quad \beta > 1 \quad (18)$$



شکل ۱ خربای ۱۰ عضوی مثال ۱

جدول ۱ نتایج طراحی بهینه گستته مثال ۱

شماره اعضاء	سطح اولیه	نتایج مرجع [۲]	نتایج مرجع [۳]	نتایج این مقاله	متغیرهای طراحی یا سطح مقطع اعضاء (اینج مریع)
۱	۲۰	۳۰	۲۸	۲۰	
۲	۲۰	۰/۱	۲	۴	
۳	۲۰	۲۰	۲۵	۲۴	
۴	۲۰	۱۴/۰	۱۲/۰	۱۲/۰	
۵	۲۰	۰/۱	۱/۰	۳	
۶	۲۰	۰/۱	۰/۰	۰/۱	
۷	۲۰	۸۰/۰	۱۱/۰	۱۳/۰	
۸	۲۰	۲۰/۰	۱۷/۰	۱۷	
۹	۲۰	۲۰/۰	۱۸	۱۷/۰	
۱۰	۲۰	۰/۰	۳/۰	۳	
وزن سازه (پوند)	۸۳۹۲/۹	۵۰۷۲	۵۰۷۳	۵۰۶۶	
تعداد آنالیز		۱۷	۱۰	۹	
زمان عملیات (sec)			۷۸۰	۷۰	

## Archive of SID

۲ سانتیمتر بیشتر نباشد)، حل شده و نتایج آن در جدول (۲) آورده شده است.

مثالهای (۲) و (۳) با تقریب‌سازی درجه دوم (ماتریس هسیان تقریبی) ارائه شده در مرجع [۱۹] طرح بهینه شده است. تعداد مراحل آنالیز به ترتیب ۱۱ و ۱۲ مرحله و زمان عملیات ۶۲۰ و ۶۵۵ ثانیه می‌باشد.

### نتیجه‌گیری

۱ - به کمک محاسبات تقریبی حجم محاسبات کامپیوتری به مقدار قابل توجهی کاهش می‌یابد به طوری که حدوداً با ۱۰ بار آنالیز سازه طراحی بهینه پیوسته و گستته میسر می‌گردد.

۲ - دقت نتایج و تعداد سیکل‌های بهینه بستگی تام به دقت روابط تقریبی دارد.

۳ - روابط تقریبی ارائه شده در این مقاله نسبت به سایر روشها از دقت و سرعت بیشتری برخوردار است.

۴ - تابع جریمه گستته پیشنهاد شده در این مقاله از عملکردی بهتر از توابع قبلی برخوردار می‌باشد.

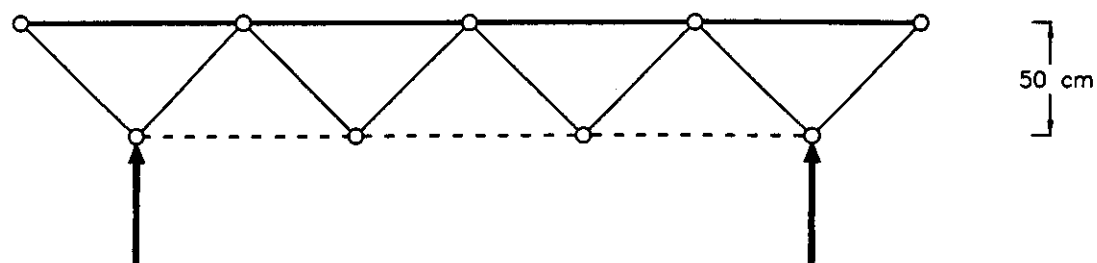
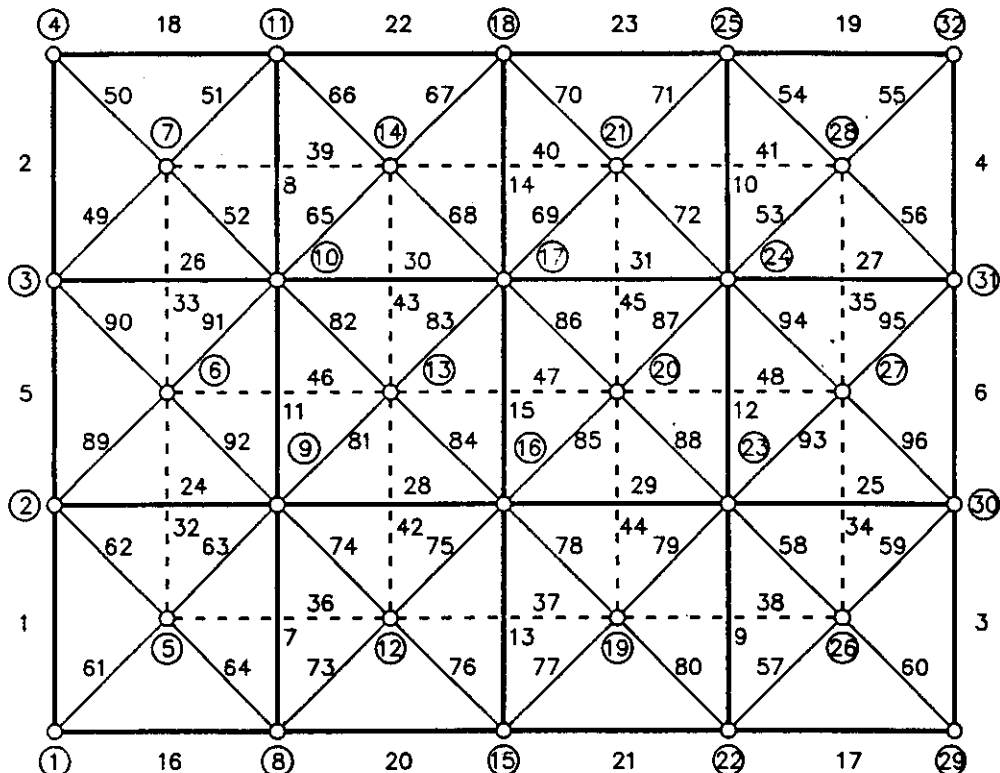
مثال ۲: شبکه دو لایه. یک شبکه دو لایه که لایه بالای آن  $16\text{m} \times 12\text{m}$  و لایه پایین آن  $12\text{m} \times 8\text{m}$  می‌باشد، در گره‌های ۵ و ۷ و ۲۶ و ۲۸ روی ستون قرار داشته و بار  $150 \text{ kg/m}^2$  را تحمل می‌کند. تنش‌های مجاز اعضاء  $\sigma_{\text{max}} = 1260 \text{ kg/m}^2$  و  $\sigma_{\text{min}} = 1260 \text{ kg/m}^2$  بوده و متغیرهای گستته سطح مقطع که لوله‌هایی به قطر  $D_i \in \{1/5, 2/5, 3/5, 4/5, 6/5, 7/5, 20/5, 10/5, 8/3, 4/6, 6/5, 24/4, 28/1, 33/9, 41/6\} \text{ cm}^2$  می‌باشند، عبارتند از:

وزن مخصوص فولاد  $0.08 \text{ kg/cm}^2$  است. نتایج طرح بهینه این شبکه در جدول (۲) آورده شده است. ضمناً این مثال در مرجع [۳] با تقریب‌سازی درجه دوم (محاسبه ماتریس هسیان) تقریبی کامل حل شده است.

مثال ۳: مثال (۲) با در نظر گرفتن محدودیت‌های تنش ذکر شده و نیز، در نظر گرفتن محدودیت تغییر مکان (یعنی تغییر مکان هیچ‌کدام از گره‌ها در راستای قائم (بار) از

جدول ۲ نتایج طرح بهینه مثال ۲ و مثال ۳

شماره متغیر	شماره اعضاء	سطح مقطع اعضاء $\text{cm}^2$	
		مثال ۲	مثال ۳
۱	۳۶-۴۱	۲۴/۴	۵۰/۳
۲	۳۲-۳۵	۴/۶	۱۰/۰
۳	۴۲-۴۵	۴/۶	۱۰/۰
۴	۴۶ و ۴۷	۸/۳	۱۰/۸
۵	۴۸	۸/۳	۴۱/۶
۶	۱۶-۱۹	۴/۶	۴/۶
۷	۲۰-۲۳	۸/۳	۲۲/۹
۸	۱-۴	۴/۶	۴/۶
۹	۵۶	۴/۶	۱۰/۸
۱۰	۲۴-۲۷	۴/۶	۴/۶
۱۱	۲۸-۳۱	۸/۳	۴۶/۶
۱۲	۷-۱۰	۴/۶	۴/۶
۱۴	۱۵	۴/۶	۴/۶
۱۵	۱۱ و ۱۲	۴/۶	۲۰/۰
۱۶	۴۹-۶۴	۱۰/۸	۲۸/۱
۱۷	۶۰-۸۰	۴/۶	۱۰/۰
۱۸	۸۱-۸۸	۴/۶	۱۰/۸
۱۹	۸۹-۹۶	۴/۶	۴/۶
وزن حداقل (kg)		۱۹۰۲	۵۰۹۶
تعداد آنالیز		۹	۱۰
زمان عملیات با پتیروم (sec)	۴۰۰	۱۰۰	۱۱۰



شکل ۲ شبکه دولایه، مثال‌های ۲ و ۳

## مراجع

1. Vanderplaats, G.N., "Numerical Optimization Techniques for Engineering Design", VR & D, Inc, CO, USA, (1999).
2. سلاجقه، عیسی و سلاجقه، جواد "طراحی بهینه پیوسته و گستته در چههای خروجی سدها با روش توابع جریمه و محاسبات تقریبی"، مجله امیرکبیر، شماره ۲۹، صفحات ۲۱-۳۴، (۱۳۷۵).
3. سلاجقه، عیسی و سلاجقه، جواد "طرح بهینه سازه‌ها". مجموعه مقالات اولین کنفرانس علمی و تخصصی انجمن مهندسان راه و ساختمان ایران، شماره ۱، صفحات ۲۲-۳۷، (۱۳۷۸).
4. Salagegheh, E., and Salagegheh, J., "Discrete optimization via force approximation and penalty approaches", *Proceedings of the 26th Annual Iranian Mathematics Conference, Kerman, Iran*, PP. 355-361, (1995).
5. Salagegheh, E. and Salagegheh, J., "Efficient discrete synthesis of skeletal structures with reference to an outlet Gate", *Proceedings of the Sixth International Conference on Civil and Structural Engineering, Civil-Comp. Press, Edinburgh, Scotland, B.H.V. Topping (ed.), Developments in Computational Technique for Civil Engineering*, PP. 221-226, (1995).
6. Shin D.K. Gurdal, Z., and Griffin, O.H., "A penalty approach for nonlinear optimization with discrete design variabels", *Journal of Engineering Optimization*, 16, PP. 29-42, (1990).
7. Salagegheh, E., "Discrete variable optimization of plate structures using penalty approaches and approximation concepts", *Journal of Engineering Optimization*, 26, PP. 195-205, (1996).
8. Cai, J., and Thierauf, G., "Discrete optimization of structures using an improved penalty function method", *Journal of Engineering Optimization*, 21, PP. 293-306, (1993).
9. Rao, S.S., "Optimization Theory and Applications", Wiley Eastern Limited, India, (1990).
10. Haftka, R.T., "First and second order constraint approximation in structural optimization", *Journal of Computational Mechanics*, 3, PP. 89-98, (1988).
11. Vanderplaats, G. N., and Salagegheh. E., "A new approximation method for stress constraints in structural synthesis", *Journal of AIAA*, 27(3), PP. 352-358, (1989).
12. Salagegheh, E., "Structural optimization using response approximation and optimality criteria methods", *Journal of Engineering Structures*, 19(7), PP. 527-532, (1997).
13. Salagegheh, E., and Vanderplaats, G.N., "An efficient approximation method for structural synthesis with reference to space structures", *Journal of Space Structures*, 2, PP. 165-175, (1986/1987).
14. Haftka, R.T., and Shore, C.P., "Approximation Method for Combined Thermal/Structural Design", NASA, TP-1428, (1979).

15. Wang, L.P. and Grandhi R.V., "Improved two-point function approximations for design optimization", *Journal of AIAA*, 33(9), PP. 1720-1727, (1995).
16. Fadel, G.M., Rily, F. and Barthelemy, J.F.M., "Two-point exponential approximation method for structural optimization", *Journal of Structural Optimization*, 5, PP. 117-124, (1990).
17. Salagegheh, E., "Optimum design of plate structures using three-point approximation", *Journal of Structural Optimization*, 13, PP. 142-147, (1997).
18. Salagegheh, E., "Optimum shape design of 3-D continuum structures using second order approximation", *Proceedings of the 4th International Conference on Civil Engineering, Sharif University of Technology, Tehran*, 1, PP. 20-27, (1997).
۱۹. رحمانی فیروزجایی، علی، "بهینه سازی سد بتونی وزنی با محدودیت تنش و تغییر مکان"، پایان نامه کارشناسی ارشد، دانشگاه شهید باهنر، بخش عمران، (۱۳۷۷).
۲۰. ستار شیخی، غلامرضا، "طرح بهینه سازه‌ها با محدودیت فرکانس با استفاده از تقریب درجه دوم"، پایان نامه کارشناسی ارشد، دانشگاه شهید باهنر، بخش عمران، (۱۳۷۸).
۲۱. سلاجقه، عیسی و حیدری، علی "روشی مؤثر جهت طرح بهینه سازه‌ها در مقابل زلزله با استفاده از تحلیل تقریبی دینامیکی"، مجموعه مقالات هفتمین کنفرانس سالانه مهندسی مکانیک، دانشگاه سیستان و بلوچستان، ۲، صفحات ۷۹۸-۷۹۱، (۱۳۷۸).